

水門下流部における荒堀限界

山口大学 正 藤 謙 隆
 ○ 山口大学 正 田 芳 美
 大本組 正 山浦 守

ダムや水門などの水理構造物の機能を十分に發揮させたためには、強烈なる荒堀作用をとつこげうからの放流水による荒堀を防止することが必要である。土屋が滑面水たたき下流部の荒堀限界について実験および理論的研究を行なっているが、実際の設計において必要とされる粗面水たたきについてはほとんど研究されていない。

本文は粗 滑面水たたき下流部における河床の荒堀限界を、砂移動に対する乱れなどの効果を若干考慮して、開水路流れにおける砂粒の移動限界を代表流速による修正でさって求めようと試みたものである。

実験は厚さ10mmのアクリル樹脂板で製作した幅20cmで長さが10cm～80cmの粗 滑面水たたきの下流に厚さ10mmの河床を設け、噴出流速を徐々に増大させていって河床砂の移動限界時の噴出流速を測定した。砂粒の移動限界の判定は不安定な砂粒が移動し始めた噴出流速と比較的安定な砂粒が移動し始めた噴出流速を単純平均して、その砂粒の移動限界における噴出流速とした。

粒径dの河床砂に作用する代表流速を U_* 、抵抗係数をC、摩擦係数を μ 、砂移動に寄与する乱れなどの効果をfで表わし、砂粒に働く流体力Fの cfd^2/U_*^2 と砂粒の抵抗力Rの μSgd^3 との比から定まる限界摩擦速度 U_{rc} は比例係数を全てKに含めると、開水路流れにおいて次式と表わされる。

$$(1) \frac{U_*^2}{Sgd} = K \frac{\mu}{Cf} \left(\frac{U_{rc}^2}{U_*^2} \right) = F \left(\frac{U_{rc} d}{V} \right)$$

上式の砂粒 Reynolds の関数Fが与えられていると、

$$(2) \frac{U_*^2}{Sgd} = \left(\frac{U_* d}{V} \right)^2 / \frac{Sgd^3}{V}, \quad \frac{U_*}{U_0} = \frac{U_* d}{V} / \left(\frac{U_0 B_0 d}{V} \right)$$

各式関係より図-2 a, bの交点として限界摩擦速度の U_{rc}^2/Sgd と U_*/U_0 の関係が与えられる。局部抵抗係数 $2U_*^2/U_m^2 = 2U_*^2/U_0^2 \cdot U_0^2/U_m^2$ が図-2 Cのように与えられれば、b図の交点より水平に引いた直線との交点が荒堀限界状態のAppron長を与える。

限界摩擦速度をSchieldsの曲線で与えられ、壁面噴流による荒堀限界を求めて実験結果と比較したのが図-3である。粗面水たたきの場合計算値と実験値とはよく一致しているが、滑面水たたきの場合には計算値のAppron長が実験値よりもかなり大きい。土屋の式と実験値とはよく一致しているが、本実験における荒堀限界に対する直観的判

図-1 実験装置および記号

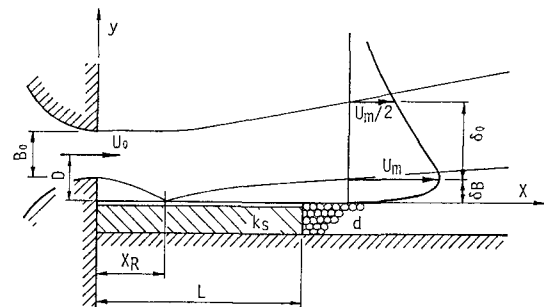
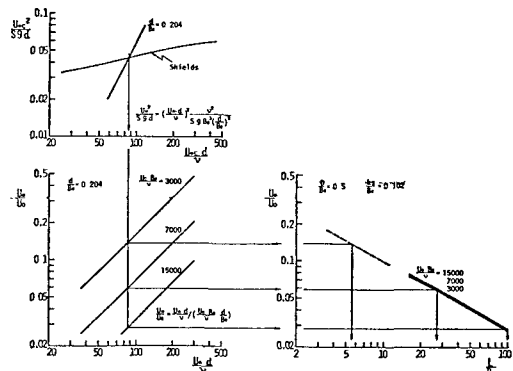


図-2 移動限界図解法



定が土屋のとは γ 一致している。

開水路流れと壁面噴流流れにかかる砂粒の移動限界に関する関係をみるために、3重添字を用いることにする。第1添字は主流部粗度の有無、第2添字は速度分布を規定している粗度、第3添字を壁面から高ことし、代表流速を簡便に d の高さにおける流速を用いることにする。

式(2)を書きなおすと次式となる。

$$(3) \quad (K \frac{\mu}{C_f})_{ERR} = F \left(\frac{U_{CERR} R}{V} \right) \left(\frac{U_{ERR}}{U_{CERR}} \right)^2$$

通常砂粒の抵抗係数はほ γ 一致とみなせ、 K と d とが同程度であれば砂粒周囲の流れのほとんどは乱流底層流れなので

$$(4) \quad (K \frac{\mu}{C_f})_{ERR} = (K \frac{\mu}{C_f})_{ERd}$$

と近似でき、次式が得られる。

$$(5) \quad \frac{U_{CERR}^2}{Sgd} = F \left(\frac{U_{CERR} R}{V} \right) \left(\frac{U_{ERR}}{U_{CERR}} \right)^2 / \left(\frac{U_{ERd}}{U_{CERR}} \right)$$

$$(6) \quad \frac{U_{ERR}}{U_{CERR}} = Ar - \frac{1}{K} \frac{(E-1)}{\left(1 - \frac{R}{d}\right)(1 - E \frac{R}{d})}$$

$U_{ER}/V = 20 \sim 100$ の範囲で、関数 F は増加し式(6)の Ar は減少するので両者の積はほ γ 一定と近似できるので、式(5)は次式と書ける。

$$(7) \quad \frac{U_{CERR}^2}{Sgd} = F \left(\frac{U_{ERd} d}{V} \right) \left(\frac{U_{ERR}}{U_{CERR}} \right)^2 / \left(\frac{U_{ERd}}{U_{CERR}} \right)$$

水面水たたきの場合、 $R=0$ ので式にすなれば摩擦速度の修正ができるないので、粗度が d なる場合を基準にすると次式となる。

$$(8) \quad \frac{U_{CERR}^2}{Sgd} = F \left(\frac{U_{CERR} d}{V} \right) \left(\frac{U_{ERd}}{U_{CERR}} \right)^2 / \left(\frac{U_{ERd}}{U_{CERR}} \right)$$

Schields の限界摩擦速度を式(7)および式(8)で修正して沈堀限界を前述した圖解法を用いて計算で求めた結果を実験結果と比較したのが図-4である。

段落高さ D と水たたき粗度 d を変えて行なった実験結果と Schields の限界摩擦速度を式(7)、(8)で修正して求めた沈堀限界を比較したのが図-5、図-6である。両者にみられる違いには剥離領域における Roller による噴出流の動搖があるとのと考えられる。

図-3 水たたき下流域における沈堀限界

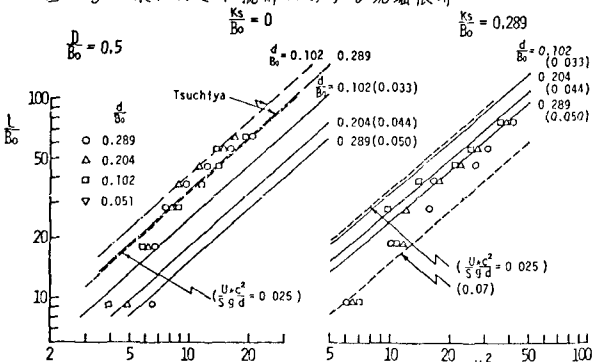


図-4 水たたき下流域における沈堀限界

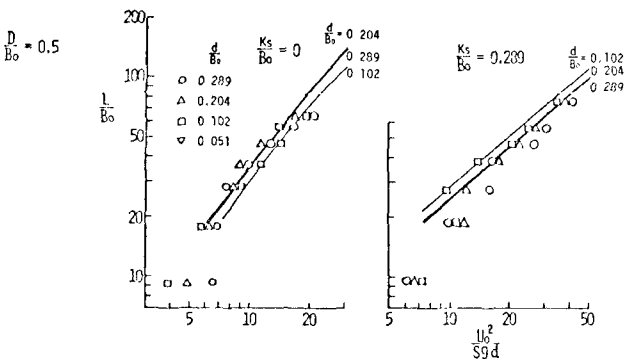


図-5 段落水たたき下流域の沈堀限界

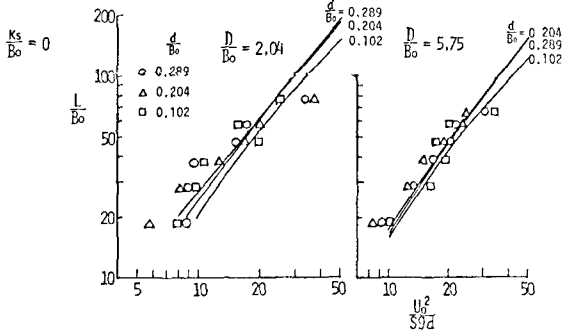


図-6 段落水たたき下流域の沈堀限界

